

Patlamalı-Kesikli Gözlemler için Parametre Kestirimi

Parameter Estimation For Bursty-Intermittent Observations

Çağatay Candan

Elektrik ve Elektronik Mühendisliği Bölümü
Orta Doğu Teknik Üniversitesi
ccandan@metu.edu.tr

Özetçe — Gözlem gürültüsü güç seviyesinin örnekten örneğe değişken olduğu veri toplama ortamındaki parametre kestirim problemi incelenmektedir. Bu çalışmada gürültü sürecine ait parametrelerin değişimi Markov süreç olarak modellenmiş ve Markov sürecin gözlemlenemeyen durum vektörü gizli değişken olarak kestirim problemine eklenmiştir. Beklenti-enbüyütmeye yöntemi ile hem gizli değişken vektörü hem de ilgilendiğimiz işaret yinelemeli olarak kestirilmektedir. Önerilen yöntem gürültü güç seviyesinin gözlem toplama süresi boyunca değiştiği, patlamalı gürültü ve/veya kesikli işaretin olduğu uygulamalarda işaret değerini kestirme amacıyla kullanılabilir.

Anahtar Kelimeler—Parametre kestirimi, Gizli Markov model, Beklenti-enbüyütmeye yöntemi, Cramer-Rao sınırı.

Abstract—Parameter estimation problem is examined in the setting where the noise power is allowed to change from sample to sample. Parameters of the noise source is assumed to be generated by a Markov chain whose state sequence is not known by the observation system. Expectation-maximization algorithm is applied for the estimation of desired parameter with the inclusion of unknown state vector of the Markov chain realization as a latent variable. The suggested scheme can be utilized in applications with bursty noise and/or intermittent signals.

Keywords—Parameter estimation, Hidden Markov models, Expectation-maximization method, Cramer-Rao bound.

I. GİRİŞ

Toplanır gürültü altında parametre kestirimi işaret işleme temel problemlerinden biridir. Gürültü dağılımının bilindiği durumda en büyük olabilirlik kestirim yöntemi ile işaret kestirimi yapılabilir ve bu kestirim sonucu Cramer-Rao alt sınırı gibi başarımlarıyla karşılaştırılarak kestirimci değerlendirilebilmektedir [1]. Birçok işaret işleme uygulamasında en büyük olabilirlik yöntemini gerçekleştirmek pratik olarak mümkün olmadığı için alternatif yöntemler geliştirilmesi gerekmektedir. Bu çalışmada gürültü kaynağı parametrelerinin gizli Markov modeli uyarınca değiştiği varsayılmış ve bu model altında kestirim problemi incelenmiştir.

Kalman filtreleme işlemi parametreleri bilinen, doğrusal bir sistem vasıtasıyla üretildiği varsayılan Gauss sürece ait durum vektörünü bağımsız toplanır Gauss gürültüsü altındaki gözlemlerden kestirme işlemini gerçekleştirir, [1, Bölüm 13]. Bu işlem Gauss dağılımlı gürültü altında Gauss dağılımlı süreç kestirimi için ortalama karesel hatayı (OKH) enküçülten

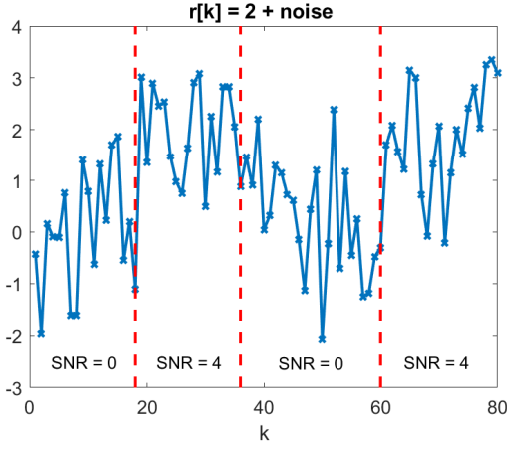
kestirimcidir. Gürültü dağılımlarının Gauss olmaması durumunda aynı işlem OKH'yı enküçülten *doğrusal* kestirimcidir. Kalman filtreleme işleminin dayandığı klasik varsayımlardan (ilgilendiğimiz Gauss sürecin Gauss dağılımlı gürültü altında gözlenmesi) uzaklaşıldığı bazı durumlar için benzer eniyileme özelliklerine sahip kestirimciler literatürde bulunmaktadır. Örneğin,

$$\begin{aligned} \mathbf{x}[k+1] &= \mathbf{A}\mathbf{x}[k] + \mathbf{B}\mathbf{u}[k] \\ \mathbf{y}[k] &= \gamma(k)\mathbf{C}\mathbf{x}[k] + \mathbf{D}\mathbf{v}[k], \end{aligned}$$

modelinde $\gamma(k)$ değişkenleri yerine 1 değerinin yazıldığı durum klasik Kalman filtreleme durumu, $\gamma(k)$ değişkeninin $\{0, 1\}$ değerlerini rastgele şekilde aldığı durum ise belirsiz gözlem durumunu olarak adlandırılmaktadır [2]. Modelden görüleceği gibi $\gamma(k)$ değişkeninin 0 değerini alması durumunda $\mathbf{y}[k]$ gözlemi ilgilendiğimiz süreç olan $\mathbf{x}[k]$ 'dan bağımsız hale gelmekte ve $\mathbf{x}[k]$ 'nın kestirimi için $\mathbf{y}[k]$ gözlemi bir bilgi taşımamaktadır. [2] numaralı çalışmada $\gamma(k)$ rastgele değişkenlerinin bağımsız türdeş Bernoulli dağılımlı olduğu varsayılmış ve bu varsayım altında filtreleme uygulaması için en iyi *doğrusal* kestirimci türetilmiştir. Bu çalışmanın devamı niteliğinde olan [3]'te $\gamma(k)$ değişkeninin bağımsız türdeş olma koşulunun genişletildiği durum için eniyi doğrusal kestirimci geliştirilmiştir. [4]'de ise kestirim için kıymet taşıyan gözlem toplama olasılığına ait değer ($\gamma(k) = 1$ olayı için olasılık değeri) kestiricinin asimptotik başarımına olan etkisi incelenmiş ve bu değerinin belli bir eşik değerinin altında olması durumunda hata kovaryans değerinin hudutsuz şekilde büyüdüğü gösterilmiştir. Bu çalışmada daha basit model olan

$$r[k] = \begin{cases} s + w_0[k] & \text{eğer } \gamma_k = 0 \\ s + w_1[k] & \text{eğer } \gamma_k = 1 \end{cases}, \quad k = \{0, 1, \dots, K-1\}$$

gözlem modeli için kestirim problemi çalışılmaktadır. Burada s ilgilendiğimiz rastgele olmayan değişken, $w_0[k]$ ve $w_1[k]$ Gauss dağılımlı rastgele değişkenler, γ_k ise 2-durumlu Markov zinciri ile üretilmiş olan $\{0, 1\}$ değerlerini alan rastgele değişkendir. İncelenen problem $r[k]$ gözlemlerinden s parametresinin kestirimidir. Yukarıda bahsedilen literatürden temel fark γ_k değerinin Markov zinciri ile üretilmiş olması ve kestirici olarak enbüyük olabilirlik yönteminin kullanılmasıdır. Öte yandan incelenen problem sıçramalı Markov doğrusal sistemlere ait süreç kestirimi probleminin özel bir hali olarak değerlendirilebilir [5]. Şekil 1'de bu özel durum gösterilmektedir. Burada $r[k]$ gözlemlerinin farklı zaman dilimlerinde, farklı işaret-gürültü oranı (SNR) seviyelerinde toplanma durumu gösterilmektedir. Algılayıcı sistem bazı zaman dilimlerinde işaretten bağımsız



Şekil 1: Veri toplama sisteminde patlamalı hatalar olmasından kaynaklı olarak farklı SNR değerlerinde toplanan veriye ait bir gösterim

şekilde sadece gürültü üretmekte (SNR = 0 durumu), diğer zaman dilimlerinde ise SNR = 4 koşullarında çalışmaktadır. Algılayıcı sistemin gözlem toplama anındaki durumu (sağlıklı/sağlıksız çalışma durumu) ve bu durumlara ait SNR seviyelerinin bilinmediği gözlem toplama ortamında işaret kestirimi (örnekteki s değişkeninin kestirimi) bu çalışmanın hedefidir.

II. PROBLEM TANIMI VE ÖNERİLEN ÇÖZÜM

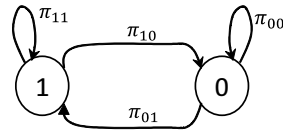
Elimizde aşağıdaki işaret toplama modeli ile elde edilmiş olan K adet gözlem verisi olsun:

$$r[k] = \begin{cases} \alpha_0 s + \beta_0 w[k], & \text{if } \gamma_k = 0 \\ s + \beta_1 w[k], & \text{if } \gamma_k = 1 \end{cases}, \quad k = \{0, 1, \dots, K-1\}. \quad (1)$$

Yukarıda yer alan s ilgilendiğimiz değişkeni, $w[k]$ bağımsız türdeş sıfır ortalama ve birim değışinti değerli Gauss dağılımlı gürültüyü, $w[k] \sim N(w[k]; 0, 1)$; iki değer alan γ_k değişkeni ise veri toplama sisteminin durumunu göstermektedir. Veri toplama sisteminin sağlıklı çalıştığı $\gamma_k = 0$ durumunda, işaret-gürültü-oranı $\text{SNR}_0 = s^2 \alpha_0^2 / \beta_0^2$, diğer durumda ise (sağlıklı çalışma durumu) $\text{SNR}_1 = s^2 / \beta_1^2$ olmaktadır. $\text{SNR}_0 \ll \text{SNR}_1$ olduğu varsayılmıştır.

Veri toplama sisteminin durum dizisi Şekil 2’de gösterilen Markov zinciri yapısı ile modellenmektedir. Bu modelde, örneğin, $k-1$ zamanında sağlıklı çalışan sistemin, bir sonraki anda sağlıklı durumda kalma olasılığı $P(\gamma_k = 1 | \gamma_{k-1} = 1) = \pi_{11}$ ile gösterilmektedir. Bu yapıda π_{11} ve π_{00} değerleri 0.5’den çok daha büyük seçilerek, sistemin bulunduğu durumu koruma olasılığının yüksek olması; böylelikle ölçüm hataların yüksek olduğu bir dizi “kötü” örneğin (patlamalı gürültü) ardından bir dizi doğruluğu yüksek “iyi” örneğin toplandığı çalışma ortamı modellenmektedir. Nümerik bir örnek olarak $\pi_{11} = 0.95$ ise sağlıklı veri toplama durumu ortalama olarak $1/(1-\pi_{11}) = 20$ örnek sürmektedir. Markov zinciri ilk durumu (γ_0 değişkeni) zincirin kalıcı değer olasılığına sahip bir rastgele değişken olarak alınmıştır, daha farklı olarak da alınabilir.

İncelenen problem denklem (1) ile verilen model altında s değişkeninin enbüyük olasibilirlik yöntemi ile kestirimidir. Problemede sistem durumunu gösteren γ_k rastgele değişkenleri gizli rastgele değişkenler; $\{s, \alpha_0, \beta_0, \beta_1\}$ değişkenleri ise değerleri bilinmeyen *rastgele olmayan* diğer değişkenlerdir.



Durum Geçiş Şeması

$$\begin{aligned} P(\gamma_k = 1 | \gamma_{k-1} = 1) &= \pi_{11} \\ P(\gamma_k = 0 | \gamma_{k-1} = 1) &= \pi_{10} \\ P(\gamma_k = 1 | \gamma_{k-1} = 0) &= \pi_{01} \\ P(\gamma_k = 0 | \gamma_{k-1} = 0) &= \pi_{00} \end{aligned}$$

Durum Geçiş Olasılıkları

Şekil 2: Algılayıcı sistemin durum geçişleri hakkında bilgi

Beklenti-Enbüyütme Yöntemi ile Kestirim: Elimizdeki gözlemlerin alt alta yazılmasıyla oluşturulan $K \times 1$ boyutlu \mathbf{r} vektörü ile γ_k değerlerinin benzer şekilde yazılmasıyla oluşturulan $\boldsymbol{\gamma}$ vektörünün (gizli değişkenler vektörü) birleşime eksiksiz gözlem vektörü adı verilmekte ve $\mathbf{x} = [\mathbf{r}; \boldsymbol{\gamma}]$ ile gösterilmektedir. Beklenti-enbüyütme yöntemi eksiksiz gözlem vektörünün işlendiği iki adımdan oluşur:

1. (Beklenti) $Q(\theta^{yeni}) = E\{\log(p(\mathbf{r}, \boldsymbol{\gamma}; \theta^{yeni})) | \mathbf{r}, \theta^{eski}\}$
2. (Enbüyütme) $\theta^{yeni} = \arg\max_{\theta^{yeni}} Q(\theta^{yeni})$

İlk adımın birinci aşamasında eksiksiz gözlem vektörüne ait log-olasibilirlik ifadesi $\log(p(\mathbf{r}, \boldsymbol{\gamma}; \theta^{yeni}))$ yazılır. Bu ifadede geçen θ değişkeni problemdeki bilinmeyen rastgele olmayan değişkenleri göstermektedir, $\theta = [s \ \alpha_0 \ \beta_0 \ \beta_1]$. Yazılan log-olasibilirlik ifadesininin gizli değişkenler üzerinden ortalaması hesaplanarak veya daha doğru bir ifade ile eksiksiz log-olasibilirlik fonksiyonun $\boldsymbol{\gamma}$ 'ya ait ardıl olasılık dağılımı, $p(\boldsymbol{\gamma} | \mathbf{r}; \theta^{eski})$, üzerinden beklenti değeri hesaplanarak ilk adım tamamlanır. Burada dikkat edilmesi gereken önemli bir konu $\boldsymbol{\gamma}$ 'ya ait ardıl olasılık dağılımı θ^{eski} ile gösterilen bilinmeyen θ vektörüne bir takım sabit nümerik değerler atandıktan sonra hesaplanmasıdır. İkinci adımda, birinci adımın çıktısı olan $Q(\theta^{yeni})$ fonksiyonu analitik veya nümerik yöntemlerle enbüyütülür. İkinci adımın sonucu olan θ^{yeni} değerleri birinci adımda yer alan θ^{eski} değerleri yerine yerleştirilir ve beklenti-enbüyütme adımı yinelenmeli şekilde tekrarlanır. Birçok problemde yöntemin başarısı θ vektörünün ilk seçimine hassasiyet göstermektedir.

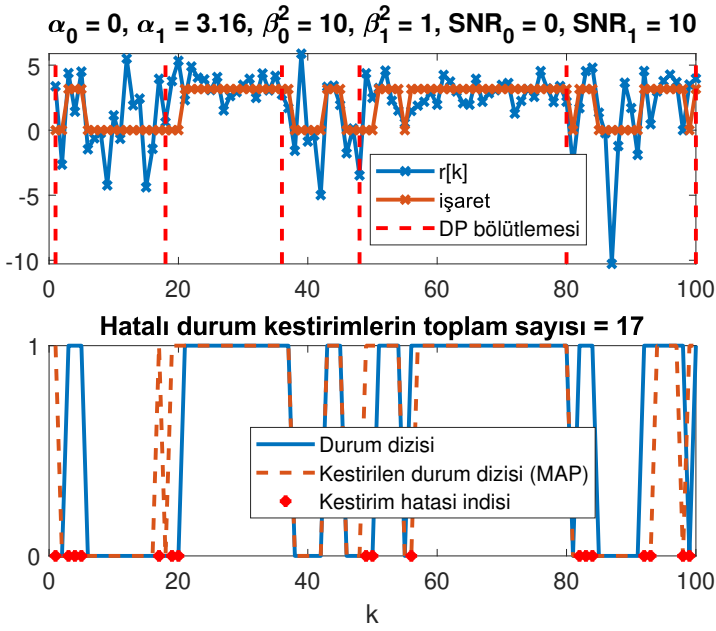
Beklenti Adımı: $p(\mathbf{r}, \boldsymbol{\gamma}; \theta)$ ifadesi $p(\mathbf{r}, \boldsymbol{\gamma}; \theta) = p(\mathbf{r} | \boldsymbol{\gamma}; \theta) p(\boldsymbol{\gamma})$ şeklinde yazılabilir. Bu problemde $p(\boldsymbol{\gamma})$ fonksiyonu bilinmeyen parametrelere bağlı değildir. Bu durumda $\log(p(\mathbf{r}, \boldsymbol{\gamma}; \theta)) = \log(p(\mathbf{r} | \boldsymbol{\gamma}; \theta)) + c$ olarak yazılabilir. Son eşitlikteki c değeri bilinmeyen parametrelere bağlı olmayan terimleri içermektedir. Beklenti hesabı için ilk olarak $p(\mathbf{r} | \boldsymbol{\gamma}; \theta)$ ifadesini

$$p(\mathbf{r} | \boldsymbol{\gamma}; \theta) = \prod_{k=0}^{K-1} N(r[k]; s\gamma_k + \alpha_0 s\gamma_k^c, \beta_1^2 \gamma_k + \beta_0^2 \gamma_k^c) \quad (2)$$

şeklinde yazalım. Burada $\gamma_k^c = 1 - \gamma_k$ şeklinde tanımlanmıştır ve γ_k, γ_k^c değişkenleri sadece 0 ve 1 değerlerini alan ve birbirlerini tümleyen değişkenler olarak düşünülebilir. Eksiksiz gözlem vektörüne ait log-olasibilirlik ifadesini $\Lambda(\mathbf{r}) = \log(p(\mathbf{r} | \boldsymbol{\gamma}; \theta))$ ile gösterirsek, bu ifade

$$\Lambda(\mathbf{r}) \stackrel{c}{=} - \sum_{k=0}^{K-1} \frac{\log(\beta_1^2 \gamma_k + \beta_0^2 \gamma_k^c)}{2} + \frac{(r[k] - s\gamma_k - \alpha_0 s\gamma_k^c)^2}{2(\beta_1^2 \gamma_k + \beta_0^2 \gamma_k^c)} \quad (3)$$

şeklinde yazılabilir. Bu eşitlikte yer alan $\stackrel{c}{=}$ sembolü eşitliğin sağ tarafında sonucu etkilemeyen daha önce c ile gösterilmiş olan bazı terimlerin yazılmadığını işaret etmektedir. Beklenti



Şekil 4: Deneysel koşulları altında gözlemlenen bir örnek

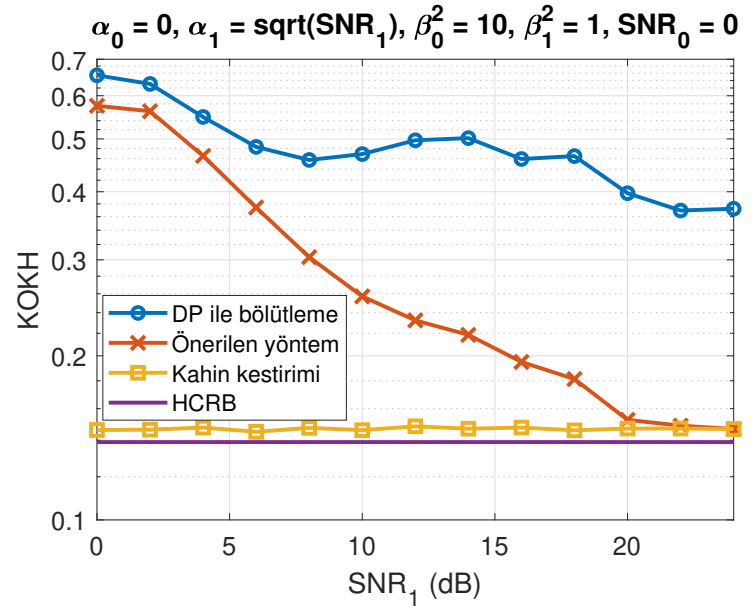
ile 2 gruba ayrılır. Yüksek ortalamalı bölütlerdeki örneklerin sağlıklı çalışma durumunda ($\gamma_k = 1$) toplandığı varsayılır ve bu örnekler $p_k = 1$, diğer örnekler $p_k = 0$ ataması yapılır ve denklem (5)'de yer alan ifadeler kullanılarak s , μ_0 , β_0^2 , β_1^2 parametrelerinin ilk değerleri elde edilir [7].

III. BENZETİM SONUÇLARI

Algılayıcı sisteminin sağlıklı çalışma koşullarında $r[k] = s + w_1$, $w_1 \sim N(0,1)$ modeliyle, diğer durumda ise $r[k] = w_0$, $w_0 \sim N(0,10)$ modeliyle veri topladığı varsayılır. Bu durumda ilgilendiğimiz işaret s sistemin kötü çalışma durumunda gözlemleri etkilememektedir. (Bu senaryo (1)'de $\alpha_0 = 0$, $\beta_0 = \sqrt{10}$, $\beta_1 = 1$ seçimine denk gelmektedir.) Algılayıcı sistemin iyi/kötü çalışma durumları arasındaki geçiş olasılığı $\pi_{01} = \pi_{10} = 0.1$ olarak, sistemin ilk durumu (γ_0) ise eşit olasılıklı şekilde iyi/kötü durumlarından biri olarak seçilsin. Toplam $K = 100$ adet örnek topladığı varsayılır.

Şekil 4'de incelenen $\text{SNR}_1 = 10$ durumunda elde edilen bir örnek gösterilmektedir ($s = \sqrt{\text{SNR}_1}$). Şekil 4'ün üst kısmındaki grafikte mavi ve kahverengi çizgiler sırasıyla gözlemleri ve ilgilendiğimiz işareti göstermektedir. Bazı zaman dilimlerinde işaret gözlemlenmemektedir (kesikli işaret durumu). Ayrıca işaretin gözlemlenmediği durumlarda gürültü değişimsizliği 10 kat artmaktadır (patlamalı gürültü). Üst grafikte verinin dinamik programlama ile bölütlenmesi sonucunda elde edilen bölüt sınırları gösterilmektedir. Dinamik programla ile hesaplanan bilinmeyen parametrelerin beklenti-embüyükme yöntemi ile işlenmesinden sonra elde edilen algılayıcı sistem durum kestirimi Şekil 4'ün ikinci parçasında verilmektedir. Bu deneyde elde edilen 100 örnekte 17 tanesine ait durumun yanlış kestirildiği görülmektedir. Hatalı kestirimler çoğunlukla işaretin kısa süreli olarak gözükmediği zaman dilimlerine aittir.

Şekil 5'de sistemin sağlıklı çalışma durumuna ait farklı SNR_1 değerleri için önerilen yöntemin kök ortalama karesel hata (KOKH) değeri gösterilmiştir. Şekilde önerilen yöntemin ilk aşaması olarak düşünülebilecek olan dinamik programlama temelli bölütleme yönteminin kestirim başarısı, gizli değişken-



Şekil 5: Kestirim doğruluğu karşılaştırması

lere ait durum vektörünü hatasız şekilde bilen kahin kestirimcisinin başarısı ve başarımların alt sınırı olarak hibrit Cramer-Rao sınırı (HCRB - Hybrid Cramer Rao Bound) verilmektedir. Sonuçlar beklenti-embüyükme yinelemelerinin parametre kestirim doğruluğunu önemli ölçüde artırdığı göstermektedir.

IV. SONUÇ

Bu çalışmada klasik yaklaşıma göre daha karmaşık yapı bir gürültü modeli altında parametre kestirim problemi incelenmektedir. Verilen yöntem gürültünün patlamalı, işaretin kesikli olduğu durumların tekil veya beraber olarak yaşandığı (benzetim sonuçları kısmındaki örnekte olduğu gibi) uygulamalarda kullanılabilir. Yöntem, işarete ait gözlemleri üreten algılayıcı sistemin kesikli olarak yaşanan girişim etkilerinden dolayı hatalı sonuçlar üretebildiği uygulamalar için geliştirilmiştir. Yöntemin başarımı bulut üzerinde bulunan, kullanıma hazır MATLAB kodları çalıştırılarak incelenebilir [7].

KAYNAKLAR

- [1] S. M. Kay, *Fundamentals of Statistical Signal Processing, Volume 1: Estimation Theory*. Prentice Hall, 1993.
- [2] N. Nahi, "Optimal recursive estimation with uncertain observation," *IEEE Trans. Inf. Theory*, vol. 15, no. 4, pp. 457–462, 1969.
- [3] M. Hadidi and S. Schwartz, "Linear recursive state estimators under uncertain observations," *IEEE Trans. Automatic Control*, vol. 24, no. 6, pp. 944–948, 1979.
- [4] B. Sinopoli, L. Schenato, M. Franceschetti, K. Poolla, M. I. Jordan, and S. S. Sastry, "Kalman filtering with intermittent observations," *IEEE Trans. Automatic Control*, vol. 49, no. 9, pp. 1453–1464, 2004.
- [5] A. Logothetis and V. Krishnamurthy, "Expectation maximization algorithms for MAP estimation of jump Markov linear systems," *IEEE Trans. Signal Process.*, vol. 47, no. 8, pp. 2139–2156, 1999.
- [6] D. Barber and A. T. Cemgil, "Graphical models for time-series," *IEEE Signal Process. Mag.*, vol. 27, no. 6, pp. 18–28, 2010.
- [7] C. Candan. (2020) Parameter Estimation For Bursty-Intermittent Observations (MATLAB Code). [Online]. Available: <https://codeocean.com/capsule/4933635/tree>
- [8] P. Stoica and Y. Selen, "Model-order selection: a review of information criterion rules," *IEEE Signal Process. Mag.*, vol. 21, no. 4, pp. 36–47, 2004.